

名古屋大学 正員 河上 省吾
 名古屋大学 正員 広畠 康裕
 名古屋大学 学生員 ○河合 肇

I. はじめに 近年、省資源、省エネルギー性が都市計画に望まれる重要な要素の1つとなっている。ここでは費用を1つの価値基準として最小化する床面積配分モデルを提案する。すなはち現状の交通網、交通施設配置のもとで都市施設の床面積を都市内の各ゾーンにどれだけ配分するか、施設間交通費用と立地費用の点からみて最適な施設配置になるかという問題をモデル化する。手法としては旗形計画法を採用した。

II. モデルと収束法について モデルへ単純化のために自動車交通のみに着目する。まず用途施設の単位床面積あたりの原単位 a_k , b_k を用いて、発生・集中交通量 T_i , D_i を求めるのであるが、 $a_k = b_k = (G_k + A_k) / 2S_k$ (G_k, A_k は k 施設の発生・集中量, S_k は k 施設床面積) において原単位の安定性を確かめておく。次に α_j , β_i , γ を定数、 r_{ij} を直線距離としてゾーン間分布交通量は、

$$t_{ij} = \frac{\alpha_j T_i + \beta_i D_i}{r_{ij}^\gamma} \quad (1)$$

と表わされると仮定する。そして次の(2)式に示すような交通費用と施設が立地する地価に関する目的関数を設定する。
 $K = \sum_i t_{ij}^c r_{ij} C^c + \sum_i t_{ij}^c \eta_{ij}^c b_i + \sum_i X_{ki} C_{ki} \quad (2)$

ここで $t_{ij}^c = p_i^c \sum_j t_{ij}$ (p_i^c は i ゾーン自動車分担率), C^c, V^c は自動車走行費用、走行速度、 η_{ij} は時間価値、 C_{ki} は、現状のまま移動すると仮定した容積率を考慮した k 用途地域の地価である。

制約条件としては次の3種類を設け、(2)式を最小化するような X_{ki} を求めればよい。

(i) ゾーン別床面積の最大許容値による制約。すなはち、

$$\sum_k X_{ki} \leq \sum_u A_{iu} \cdot \overline{FSI}_u \cdot D_i / 100 \quad (3)$$

ここに A_{iu} = i ゾーン内建築基準法で定める用途地域 u の面積、 \overline{FSI}_u = u 地域内平均容積率、 D_i は i ゾーンの市街化区域内の可住地面積百分率である。ここで u 地域と k 施設、および(2)式の k 地域と k 施設との対応関係は、住宅、商業、工業にまとめあげて対応させる。

(ii) 対象地域内で域外と隣接するゾーン（以下「周辺ゾーン」）とそれらのゾーンより内部のゾーン間の移動交通量から、域外・内部のゾーン間流入・流出量 AI , GE と対象地域通過交通量 TH を除いたものを、交通量測定調査が行なわれている主要道路の交通容量 C_{avg} 以下にする。すなはち周辺ゾーンについて次式がなりたつとする。

$$2 \sum_k p_i a_k X_{ki} \frac{\sum_j Q_{xkj} - TH}{G_i^c + A_i^c - 2I_i^c} \leq (\sum_j C_{avgj} - TH) \alpha \quad (4)$$

ここで G_i^c, A_i^c は域外者を除いた i ゾーンの発生・集中自動車交通量、 $Q_{xkj} = i$ ゾーン間連絡道路の24時間往復交通量、 I_i^c = i ゾーン内自動車交通量、 $TH = (AI + GE + ZT) / N$ (N は周辺ゾーン数)、 α = 平均乗車人員。

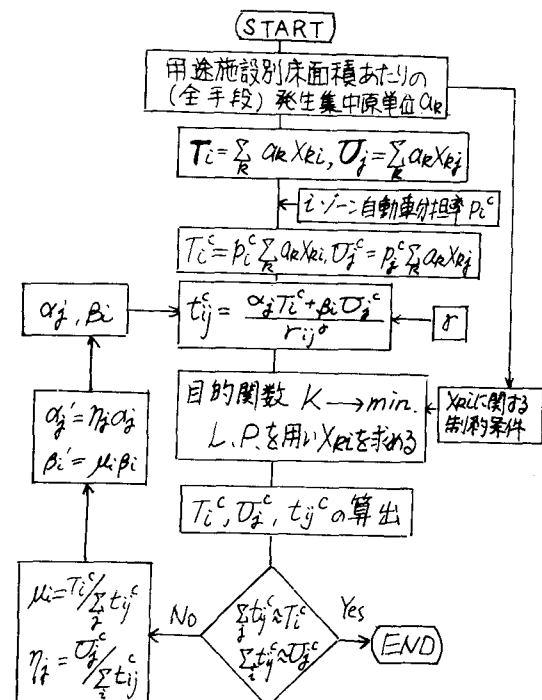


図-1 モデルのフローチャート

(iii) 都市活動を維持するための必要活動量、および各ゾーン別最小床面積の確保。次の(5), (6)式で表められる。

$$\sum_i X_{ki} \geq S_{\min, k} \quad (5) \quad \sum_k X_{ki} \geq S_{\min, i} \quad (6)$$

以上の制約条件式を用いて L.P. を解き、図-1 に示すように、 X_{ki} により求まる発生・集中交通量と(1)式より求まる分布交通量の着・発ゾーンに関する和が一致するまで繰り返し収束計算を行なう。

しかし、この収束計算では α_i, β_i を用いて修正した α'_i, β'_i から算出される γ_i が目的関数の係数として用いられるため L.P. の解は繰り返し段階ごとに大きく変動する可能性がある。その場合は収束の保証はなくなるので図-1 の収束法を A とし、次にあげる別の収束法 B, C が考えられる。

収束法 B: α_i, β_i の修正の幅を小さくする。すなわち w をより大きい正数とおいて次式を用いる。

$$\alpha'_i = (\gamma_i - 1.0) \times \frac{1}{w} + 1.0 \quad \beta'_i = (\mu_i - 1.0) \times \frac{1}{w} + 1.0 \quad (7)$$

収束法 C: α_i, β_i が振動を始めたときから L.P. のループを通過さずに $\gamma_i \approx T_i$, $\mu_i \approx D_i$ になるまで修正して、

修正された α'_i, β'_i を再び用いて解いて、求められた解が修正前の L.P. の解と一致するならば、それを最適解とする。

III. 適用例　名古屋市に対してこのモデルを適用した例を2つ示す。

1つは、後に述べる16ゾーンの例の予備的計算として5ゾーン、8用途地域で計算を行なった。収束法 A によると繰り返し数6回以降から L.P. の解は2つのパターン P, Q を交互にくり返し振動する結果となつた。一方収束法 B で $w=5$ とおくと、4つのパターン P, Q, R, S が表われたが、これらが規則的に繰り返されるだけで収束には至らなかった。収束法 C でも修正前の L.P. の解と修正後の L.P. の解は必ずしも一致しなかつた。

第2の適用例は、16ゾーン9用途施設を採用し、制約条件は(i)から(iii)に関して全てにおいて用い、78個とした。収束法 A の場合、L.P. の解は2つのパターン X, Y をくり返したが取り入れられる最適解は1箇所が増減するだけでほぼ等しく、繰り返し計算は収束の方向にあった。収束法 B を採用しても ($w=4$)、パターン X, Y が表われ収束法 A ほど速くはないが収束の方向にあった。収束法 C はあまり有効ではなかった。得られたパターン X によるゾーン別施設配置を図-2 に示す。また目的関数の値は現況の交通量と床面積から得られる値の約91%であった。

IV. おわりに　この床面積配分モデルの特徴はマクロな床面積ゾーン別配分の最適パターンが得られることである。収束法については A, B, C とも収束の速さ、パターン数など長所短所があるが、収束法 A で収束の見通しつけて B, C を用いて検討するなど各適用例に応じた使い分けが必要であろう。また、鉄道、バスなどによる交通をも考慮した床面積配分計画への拡張もこのモデルは可能であるといえる。

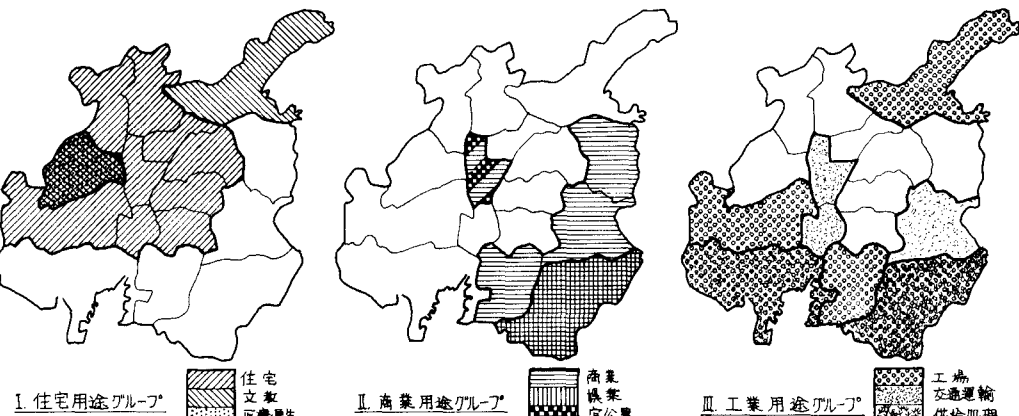


図-2 求められた床面積配置